

บทที่ 3

ผลการทดลอง

3.1 ความผิดปกติและพฤติกรรมของปลานิลที่ได้รับอาหารสูตรต่างๆ

ผลการศึกษาพบว่า เมื่อเริ่มให้อาหารที่มีอะฟลาทอกซินบี₁ต่างกัน 6 ระดับ ปลานิลที่ได้รับอาหารที่มีอะฟลาทอกซินบี₁ระดับสูงสุด (2,500 พีพีบี) แสดงพฤติกรรมเฉื่อยชา หลบตามมุมตู้ แสดงอาการไม่ยอมรับอาหารตั้งแต่เริ่มให้อาหารทดลองจนสิ้นสุดการทดลอง โดยปลาจะแสดงอาการหิวชัดเจนแต่เมื่อให้อาหาร จะแสดงพฤติกรรมการกินอาหารที่ต่างไปจากปกติ คือ เข้ามาดมอาหารแต่ไม่กิน แล้วว่ายหนี วนเวียนหลายรอบกว่าจะกิน และเมื่อกินเข้าไปแล้วก็จะพ่นอาหารออกมาใหม่ ใช้เวลานานกว่าจะกินอาหารจนหมด ช่วงสัปดาห์สุดท้ายปลากินอาหารไม่หมดตามเปอร์เซ็นต์ที่ให้ ในขณะที่ปลากลุ่มอื่นๆ แสดงความอยากอาหารปกติ การปิดเปิดของแผ่นปิดเหงือก (gill cover) จะเร็วขึ้นในปลาที่ได้รับอาหารที่มีอะฟลาทอกซินบี₁ระดับสูงขึ้น สำหรับรูปร่างลักษณะภายนอก ไม่พบความผิดปกติทุกชุดการทดลอง

3.2 การเจริญเติบโตและการรอดตาย

3.2.1 น้ำหนักเฉลี่ยต่อตัว

น้ำหนักเฉลี่ยต่อตัวของปลานิลที่ได้รับอาหารทดลองทั้ง 6 สูตรตลอดระยะเวลาการทดลอง 5 สัปดาห์ พบว่าปลามีน้ำหนักเฉลี่ยต่อตัวเพิ่มสูงขึ้นตามระยะเวลาของการทดลอง ดังแสดงในตารางที่ 10 และภาพที่ 2 โดยที่น้ำหนักปลาเฉลี่ยต่อตัวปลาในสัปดาห์แรกไม่มีความแตกต่างกันทางสถิติ อยู่ในช่วง 6.76 ± 0.09 ถึง 6.44 ± 0.20 กรัม เริ่มมีความแตกต่างกันเมื่อเลี้ยงได้ 2 สัปดาห์ โดยน้ำหนักเฉลี่ยต่อตัวของปลาที่ได้รับอาหารสูตรที่ 1 ถึง 5 (0-1,000 พีพีบี) ไม่มีความแตกต่างกันทางสถิติ อยู่ในช่วง 9.48 ± 0.12 ถึง 9.33 ± 0.27 กรัม ในขณะที่ปลาที่ได้รับอะฟลาทอกซินบี₁สูงสุด (2,500 พีพีบี) มีน้ำหนักเฉลี่ยต่อตัวต่ำที่สุดแตกต่างจากกลุ่มอื่นๆ ($p < 0.05$) คือ 8.82 ± 0.28 กรัม จนกระทั่งสัปดาห์ที่ 5 ปลาที่ได้รับ อะฟลาทอกซินบี₁สูงสุด (2,500 พีพีบี) มีน้ำหนักเฉลี่ยต่อตัวต่ำที่สุดแตกต่างจากปลาที่ได้รับอาหารสูตรที่ 1 ถึง 5 (0-1,000 พีพีบี) อย่างมีนัยสำคัญทางสถิติ ($p < 0.05$) คือ 19.11 ± 0.76 กรัม สำหรับในสัปดาห์ที่ 8 ปลามีน้ำหนักเฉลี่ยต่อตัวเพิ่มขึ้นทุกสูตร แต่ไม่วิเคราะห์ความแตกต่าง

ทางสถิติ เนื่องจากน้ำหนักปลาแต่ละชุดการทดลองมีความแตกต่างทางสถิติตั้งแต่เริ่มเลี้ยง หลังสุ่มเก็บตัวอย่างปลาครั้งหนึ่งในสัปดาห์ที่ 5 อย่างไรก็ตามปลาที่ได้รับอะฟลาทอกซิน บี₁ สูงสุด (2,500 พีพีบี) มีแนวโน้มค่าน้ำหนักเฉลี่ยต่อตัวต่ำกว่ากลุ่มอื่นๆ

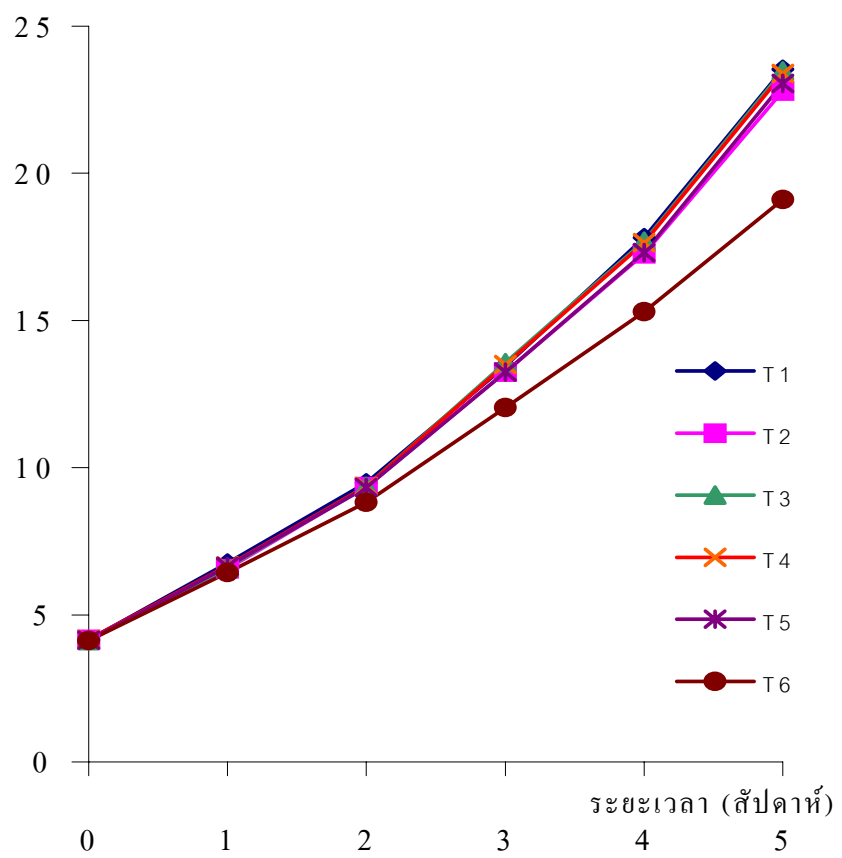
ตารางที่ 10 แสดงการเจริญเติบโตของปลานิลที่ได้รับอาหารที่มีอะฟลาทอกซินบี₁ ระดับต่างๆ เป็นเวลา 5 สัปดาห์¹ (หน่วยเป็นกรัม)

สูตรอาหาร (ระดับAFB ₁)	ระยะเวลา (สัปดาห์ที่)					
	0	1	2	3	4	5
1 (0 พีพีบี)	4.15±0.05 ^a	6.76±0.09 ^a	9.48±0.12 ^a	13.45±0.37 ^a	17.81±0.49 ^a	23.53±0.64 ^a
2 (50 พีพีบี)	4.16±0.02 ^a	6.56±0.16 ^a	9.36±0.29 ^a	10.30±0.43 ^a	17.27±0.53 ^a	22.79±0.72 ^a
3 (100 พีพีบี)	4.13±0.03 ^a	6.61±0.11 ^a	9.37±0.31 ^a	10.33±0.85 ^a	17.70±0.95 ^a	23.48±1.00 ^a
4 (500 พีพีบี)	4.16±0.02 ^a	6.67±0.20 ^a	9.37±0.29 ^a	13.51±0.44 ^a	17.64±0.61 ^a	23.39±0.60 ^a
5 (1,000 พีพีบี)	4.14±0.05 ^a	6.64±0.10 ^a	9.33±0.27 ^a	13.24±0.43 ^a	17.31±0.54 ^a	23.05±0.57 ^a
6 (2,500 พีพีบี)	4.12±0.04 ^a	6.44±0.20 ^a	8.82±0.28 ^b	12.04±0.48 ^b	15.29±0.72 ^b	19.11±0.76 ^b

¹ ตัวเลขที่นำเสนอเป็นค่าเฉลี่ย ± ค่าเบี่ยงเบนมาตรฐาน จากข้อมูล 5 ซ้ำ

ค่าเฉลี่ยในสดมภ์ที่มีตัวอักษรเหมือนกันกำกับ ไม่มีความแตกต่างทางสถิติที่ระดับความเชื่อมั่น 95 เปอร์เซนต์ (p<0.05)

น้ำหนักเฉลี่ย (กรัม/ตัว)



ภาพที่ 2 แสดงการเจริญเติบโตของปลานิลที่ได้รับอาหารที่มีอะพลาทอกซินบี, ระดับต่างๆ นาน 5 สัปดาห์

3.2.2 น้ำหนักที่เพิ่มขึ้น อัตราการแลกเปลี่ยน ดัชนีจับต่อตัว และการรอดตาย

น้ำหนักเฉลี่ยต่อตัวเริ่มต้นและสิ้นสุดการทดลอง เปรอร์เซ็นต์น้ำหนักที่เพิ่มขึ้น อัตราการแลกเปลี่ยน ดัชนีจับต่อตัว และการรอดตายของปลานิลที่ได้รับอาหารทั้ง 6 สูตรเป็นระยะเวลา 5 สัปดาห์ แสดงในตารางที่ 11 ดัชนีจับต่อตัวและการรอดตายของปลานิลที่ได้รับอาหารทั้ง 6 สูตรเป็นระยะเวลา 8 สัปดาห์ แสดงในตารางที่ 12

ในสัปดาห์ที่ 5 พบว่า เปรอร์เซ็นต์น้ำหนักที่เพิ่มขึ้นของปลาที่ได้รับอาหารสูตรที่ 1 ถึง 5 (0 ถึง 1,000 พีพีบี) ไม่มีความแตกต่างกันทางสถิติ โดยมีค่าเฉลี่ยอยู่ในช่วง 468.48 ± 23.43 ถึง 448.07 ± 18.59 เปรอร์เซ็นต์ ต่างจากปลาที่ได้รับอาหารสูตรที่มีอะฟลาทอกซินบี₁ สูงสุด (2,500 พีพีบี) ซึ่งมีค่าต่ำสุดอย่างมีนัยสำคัญทางสถิติ ($p < 0.05$) คือ 363.38 ± 15.66 เปรอร์เซ็นต์ อัตราการแลกเปลี่ยน พบว่า ปลาที่ได้รับอาหารสูตรที่ 1 ถึง 5 (0 ถึง 1,000 พีพีบี) ไม่มีความแตกต่างกันทางสถิติ โดยมีค่าเฉลี่ยอยู่ในช่วง 1.02 ± 0.02 ถึง 1.05 ± 0.04 ในขณะที่ปลาที่ได้รับอาหารสูตรที่มีอะฟลาทอกซินบี₁ สูงสุด (2,500 พีพีบี) มีค่าสูงที่สุดแตกต่างจากกลุ่มอื่นๆ อย่างมีนัยสำคัญทางสถิติ ($p < 0.05$) คือ 1.21 ± 0.05 (ตารางที่ 11 และ 12)

ค่าดัชนีจับต่อตัวของปลานิลที่ได้รับอาหารที่มีระดับอะฟลาทอกซินบี₁ ต่างกันในสัปดาห์ที่ 5 พบว่า ปลากลุ่มที่ได้รับอาหารที่มีอะฟลาทอกซินบี₁ 0 และ 50 พีพีบี มีค่าไม่แตกต่างกัน โดยมีค่าสูงกว่ากลุ่มอื่นๆ ปลากลุ่มที่ได้รับอาหารที่มีอะฟลาทอกซินบี₁ 100 500 และ 1,000 พีพีบี มีค่าต่ำลงมา และ ปลากลุ่มที่ได้รับอาหารที่มีอะฟลาทอกซินบี₁ ระดับสูงสุด (2,500 พีพีบี) มีค่าต่ำที่สุด คือ 1.08 ± 0.05 เปรอร์เซ็นต์ ใกล้เคียงกับปลากลุ่มที่ได้รับอาหารที่มีอะฟลาทอกซินบี₁ 100 พีพีบี (ตารางที่ 11) ในสัปดาห์ที่ 8 พบว่า เปรอร์เซ็นต์ดัชนีจับต่อตัวมีค่าสูงสุดในปลากลุ่มที่ได้รับอาหารที่มีอะฟลาทอกซินบี₁ 0 พีพีบี คือ 1.45 ± 0.12 เปรอร์เซ็นต์ รองลงมาคือ ปลากลุ่มที่ได้รับอาหารที่มีอะฟลาทอกซินบี₁ 50 พีพีบี คือ 1.43 ± 0.17 เปรอร์เซ็นต์ และลดต่ำลงเรื่อยๆ ตามระดับอะฟลาทอกซินบี₁ ที่เพิ่มขึ้น โดยปลากลุ่มที่ได้รับอาหารที่มีอะฟลาทอกซินบี₁ 100 และ 500 พีพีบี มีค่าดัชนีจับต่อตัว 1.28 ± 0.18 และ 1.19 ± 0.16 เปรอร์เซ็นต์ ตามลำดับ ปลากลุ่มที่ได้รับอาหารที่มีอะฟลาทอกซินบี₁ 1,000 และ 2,500 พีพีบี มีค่าดัชนีจับต่อตัวไม่ต่างกันคือ 1.00 ± 0.11 และ 0.85 ± 0.10 เปรอร์เซ็นต์ ตามลำดับ ต่ำกว่ากลุ่มอื่นๆ อย่างมีนัยสำคัญทางสถิติ ($p < 0.05$) (ตารางที่ 12)

สำหรับการรอดตายของปลาที่ได้รับอาหารทั้ง 6 สูตร ไม่มีความแตกต่างกันทางสถิติ โดยไม่พบการตายตลอดการทดลอง (ตารางที่ 11 และ 12)

ตารางที่ 11 แสดงน้ำหนักเริ่มต้น น้ำหนักสุดท้าย น้ำหนักที่เพิ่มขึ้น อัตราการแลกเนื้อ และอัตราการรอดตายของปลานิลที่
ได้รับอาหารที่มีอะฟลาทอกซินบี₁ ระดับต่างๆ เป็นเวลา 5 สัปดาห์¹

สูตรอาหาร (ระดับAFB ₁)	น้ำหนักเริ่มต้น (กรัม/ตัว)	น้ำหนักสุดท้าย (กรัม/ตัว)	น้ำหนักที่เพิ่มขึ้น (%)	การแลกเนื้อ	ดัชนีตับต่อตัว (%)	อัตราการรอดตาย (%)
1 (0 พีพีบี)	4.15±0.05 ^a	23.53±0.64 ^a	466.37±10.50 ^a	1.02±0.02 ^a	1.48±0.05 ^{ab}	100
2 (50 พีพีบี)	4.16±0.02 ^a	22.79±0.72 ^a	448.07±18.59 ^a	1.05±0.04 ^a	1.65±0.18 ^a	100
3 (100 พีพีบี)	4.13±0.03 ^a	23.48±1.00 ^a	468.48±23.43 ^a	1.02±0.02 ^a	1.27±0.19 ^{bc}	100
4 (500 พีพีบี)	4.16±0.02 ^a	23.39±0.60 ^a	462.79±14.47 ^a	1.02±0.02 ^a	1.31±0.12 ^{bc}	100
5 (1,000 พีพีบี)	4.14±0.05 ^a	23.05±0.57 ^a	457.20±20.11 ^a	1.02±0.02 ^a	1.38±0.05 ^b	100
6 (2,500 พีพีบี)	4.12±0.04 ^a	19.11±0.76 ^b	363.38±15.66 ^b	1.21±0.05 ^b	1.08±0.05 ^c	100

¹ ตัวเลขที่นำเสนอเป็นค่าเฉลี่ย ± ค่าเบี่ยงเบนมาตรฐาน จากข้อมูล 5 ซ้ำ

ค่าเฉลี่ยในสคริปต์ที่มีตัวอักษรเหมือนกันกำกับ ไม่มีความแตกต่างทางสถิติที่ระดับความเชื่อมั่น 95 เปอร์เซนต์ (p<0.05)

ตารางที่ 12 แสดงเปอร์เซ็นต์ดัชนีตับต่อตัว และอัตราการรอดตายของปลานิลที่ได้รับอาหารที่มีอะฟลาทอกซินบี₁ ระดับต่างๆ เป็นเวลา 8 สัปดาห์¹

สูตรอาหาร (ระดับAFB ₁)	ดัชนีตับต่อตัว (%)	การรอดตาย (%)
1 (0 พีพีบี)	1.45 ± 0.12 ^a	100 ^a
2 (50 พีพีบี)	1.43 ± 0.17 ^a	100 ^a
3 (100 พีพีบี)	1.28 ± 0.18 ^{ab}	100 ^a
4 (500 พีพีบี)	1.19 ± 0.16 ^b	100 ^a
5 (1,000 พีพีบี)	1.00 ± 0.11 ^c	100 ^a
6 (2,500 พีพีบี)	0.85 ± 0.10 ^c	100 ^a

¹ ตัวเลขที่นำเสนอเป็นค่าเฉลี่ย ± ค่าเบี่ยงเบนมาตรฐาน จากข้อมูล 5 ซ้ำ

ค่าเฉลี่ยในสดมภ์ที่มีตัวอักษรเหมือนกันกำกับ ไม่มีความแตกต่างทางสถิติที่ระดับความเชื่อมั่น 95 เปอร์เซ็นต์ (p<0.05)

3.4 การศึกษาองค์ประกอบเลือดปลาชนิด

ผลการวิเคราะห์องค์ประกอบเลือดพบว่า ในสัปดาห์ที่ 5 เพอร์เซ็นต์ฮีมาโตคริต เม็ดเลือดแดง เม็ดเลือดขาว ปริมาณฮีโมโกลบิน และโปรตีนในพลาสมา มีค่าไม่แตกต่างกันทางสถิติ โดยมีค่าเฉลี่ย 35.14 ± 5.17 เพอร์เซ็นต์ 2.64 ± 0.1 ($\times 10^6$ เซลล์ต่อลูกบาศก์มิลลิเมตร) 1.11 ± 0.07 ($\times 10^5$ เซลล์ต่อลูกบาศก์มิลลิเมตร) 7.00 ± 0.23 กรัมต่อเดซิลิตร และ 10.04 ± 0.28 กรัมเปอร์เซ็นต์ ตามลำดับ (ตารางที่ 13)

สำหรับสัปดาห์ที่ 8 พบว่า ปริมาณเม็ดเลือดแดง และ เม็ดเลือดขาว ไม่มีความแตกต่างกันทางสถิติ โดยมีค่าเฉลี่ย 2.70 ± 0.10 ($\times 10^6$ เซลล์ต่อลูกบาศก์มิลลิเมตร) และ 5.85 ± 0.47 ($\times 10^5$ เซลล์ต่อลูกบาศก์มิลลิเมตร) ตามลำดับ (ตารางที่ 14) ส่วนค่าเปอร์เซ็นต์ ฮีมาโตคริต ฮีโมโกลบิน และ โปรตีนในพลาสมา พบความแตกต่างกันทางสถิติ โดย อาหารสูตรที่ 1-5 (0-1,000 ฟีฟี่) มีค่าเปอร์เซ็นต์ฮีมาโตคริตไม่แตกต่างกันทางสถิติ โดยมีค่าเฉลี่ยอยู่ระหว่าง 35.50 ± 1.76 ถึง 38.85 ± 5.19 เพอร์เซ็นต์ ต่างจากอาหารสูตรที่ 6 (2,500 ฟีฟี่) ซึ่งมีค่าต่ำกว่ากลุ่มอื่นๆ อย่างมีนัยสำคัญทางสถิติ ($p < 0.05$) คือ 32.10 ± 2.84 เพอร์เซ็นต์ ปริมาณฮีโมโกลบินในอาหารสูตรที่ 1-4 ไม่แตกต่างกันทางสถิติ โดยมีค่าเฉลี่ยอยู่ระหว่าง 9.34 ± 0.70 ถึง 9.79 ± 0.32 กรัมต่อเดซิลิตร ต่างจากอาหารสูตรที่ 5 และ 6 (1,000 และ 2,500 ฟีฟี่) ซึ่งมีค่าต่ำกว่ากลุ่มอื่นๆ อย่างมีนัยสำคัญทางสถิติ ($p < 0.05$) โดยมีค่าเฉลี่ย 8.42 ± 0.80 และ 8.03 ± 0.30 กรัมต่อเดซิลิตร ตามลำดับ โปรตีนในพลาสมาของปลากลุ่มควบคุม (0 ฟีฟี่) มีค่าสูงที่สุดแตกต่างจากกลุ่มอื่นๆ อย่างมีนัยสำคัญทางสถิติ ($p < 0.05$) คือ 14.45 ± 0.45 กรัมเปอร์เซ็นต์ ปลากลุ่มที่ได้รับอาหารที่มีอะฟลาทอกซินบี₁ 50 และ 100 ฟีฟี่ ไม่แตกต่างกัน คือ 12.75 ± 1.31 และ 13.01 ± 0.73 กรัมเปอร์เซ็นต์ ปลากลุ่มที่ได้รับอาหารที่มีอะฟลาทอกซินบี₁ 500 และ 1,000 ฟีฟี่ ไม่แตกต่างกัน คือ 12.75 ± 1.31 , 11.63 ± 0.69 และ 11.47 ± 1.47 กรัมเปอร์เซ็นต์ ตามลำดับ ปลากลุ่มที่ได้รับอาหารที่มีอะฟลาทอกซินบี₁ 2,500 ฟีฟี่ มีค่าต่ำกว่าทุกกลุ่มอย่างมีนัยสำคัญทางสถิติ ($p < 0.05$) คือ 9.89 ± 0.99 กรัมเปอร์เซ็นต์

ตารางที่ 13 ค่าองค์ประกอบเลือดของปลานิลที่ได้รับอะฟลาทอกซินบี₁ ระดับต่างๆ ในสัปดาห์ที่ 5¹

AFB ₁ (พีพีบี)	ฮีมาโตคริต %	เม็ดเลือดแดง ($\times 10^6$ cell/mm ³)	เม็ดเลือดขาว ($\times 10^5$ cell/mm ³)	ฮีโมโกลบิน (g/dl)	โปรตีนในพลาสมา g%
0	36.18 \pm 4.27 ^a	2.66 \pm 0.16 ^a	1.03 \pm 0.16 ^a	6.95 \pm 0.81 ^a	10.10 \pm 0.47 ^a
50	35.26 \pm 6.32 ^a	2.51 \pm 0.25 ^a	1.08 \pm 0.22 ^a	7.16 \pm 0.52 ^a	10.37 \pm 0.77 ^a
100	36.85 \pm 5.67 ^a	2.65 \pm 0.17 ^a	1.21 \pm 0.19 ^a	6.97 \pm 0.78 ^a	9.68 \pm 0.83 ^a
500	36.30 \pm 5.71 ^a	2.82 \pm 0.24 ^a	1.08 \pm 0.18 ^a	7.06 \pm 0.38 ^a	9.74 \pm 1.36 ^a
1000	31.66 \pm 4.27 ^a	2.59 \pm 0.33 ^a	1.16 \pm 0.17 ^a	6.87 \pm 0.56 ^a	10.07 \pm 0.98 ^a
2500	34.61 \pm 4.75 ^a	2.61 \pm 0.39 ^a	1.08 \pm 0.15 ^a	6.96 \pm 0.16 ^a	10.29 \pm 0.43 ^a

¹ตัวเลขที่นำเสนอเป็นค่าเฉลี่ย \pm ค่าเบี่ยงเบนมาตรฐาน จากข้อมูล 5 ซ้ำ

ค่าเฉลี่ยในสัปดาห์ที่มีตัวอักษรเหมือนกันกำกับไม่มีความแตกต่างทางสถิติที่ระดับความเชื่อมั่น 95 เปอร์เซ็นต์ (p < 0.05)

ตารางที่ 14 ค่าองค์ประกอบเลือดของปลานิลที่ได้รับอะฟลาทอกซินบี₁ ระดับต่างๆ ในสัปดาห์ที่ 8¹

AFB ₁ (พีพีบี)	ฮีมาโตคริต %	เม็ดเลือดแดง ($\times 10^6$ cell/mm ³)	เม็ดเลือดขาว ($\times 10^5$ cell/mm ³)	ฮีโมโกลบิน (g/dl)	โปรตีนในพลาสมา g%
0	37.01 \pm 3.75 ^a	2.75 \pm 0.20 ^a	5.60 \pm 0.78 ^a	9.78 \pm 0.66 ^a	14.45 \pm 0.45 ^a
50	38.85 \pm 5.19 ^a	2.73 \pm 0.23 ^a	5.39 \pm 0.29 ^a	9.79 \pm 0.32 ^a	12.75 \pm 1.31 ^{bc}
100	35.50 \pm 1.76 ^a	2.58 \pm 0.46 ^a	6.56 \pm 0.86 ^a	9.58 \pm 0.53 ^a	13.01 \pm 0.73 ^b
500	38.13 \pm 0.68 ^a	2.80 \pm 0.41 ^a	6.19 \pm 0.84 ^a	9.34 \pm 0.70 ^a	11.63 \pm 0.69 ^c
1000	37.34 \pm 1.49 ^a	2.77 \pm 0.31 ^a	5.99 \pm 0.72 ^a	8.42 \pm 0.80 ^b	11.47 \pm 1.47 ^c
2500	32.10 \pm 2.84 ^b	2.56 \pm 0.14 ^a	5.39 \pm 0.78 ^a	8.03 \pm 0.30 ^b	9.89 \pm 0.99 ^d

¹ตัวเลขที่นำเสนอเป็นค่าเฉลี่ย \pm ค่าเบี่ยงเบนมาตรฐาน จากข้อมูล 5 ซ้ำ

ค่าเฉลี่ยในสัปดาห์ที่มีตัวอักษรเหมือนกันกำกับไม่มีความแตกต่างทางสถิติที่ระดับความเชื่อมั่น 95 เปอร์เซ็นต์ (p < 0.05)

3.5 การศึกษาเนื้อเยื่อตับและตับอ่อนปลานิลแดงแปลงเพศ

ผลการศึกษาพยาธิสภาพของเนื้อเยื่อตับและตับอ่อนปลานิลแดงแปลงเพศที่ได้รับอะฟลาทอกซินระดับต่างๆ เป็นเปอร์เซ็นต์จำนวนตัวที่มีความผิดปกติ แสดงดังตารางที่ 15-18 พบว่า

3.5.1 การศึกษาเนื้อเยื่อตับและตับอ่อนของปลานิลในสัปดาห์ที่ 5

ตับ

ปลานิลกลุ่มที่ได้รับอะฟลาทอกซินบี₁ 0 50 และ 100 พีพีบี พบเซลล์ตับและนิวเคลียสมีขนาด รูปร่างและการจัดเรียงตัวปกติ โดยวัดขนาดเส้นผ่าศูนย์กลางเซลล์ได้ 14.88 ไมครอน และขนาดเส้นผ่าศูนย์กลางนิวเคลียส 3.72 ไมครอน (ภาพที่ 3)

พบความผิดปกติของเนื้อเยื่อตับในปลานิลกลุ่มที่ได้รับอะฟลาทอกซินบี₁ 500 1,000 และ 2,500 พีพีบี ได้แก่

เซลล์ตับมีลักษณะบวมพอง (swollen) (ภาพที่ 4) พบมากที่สุดในปลาที่ได้รับอะฟลาทอกซินบี₁ 2,500 พีพีบี รองลงมาคือปลาที่ได้รับอะฟลาทอกซินบี₁ 500 และ 1,000 พีพีบี ตามลำดับ มีขนาดเส้นผ่าศูนย์กลางเซลล์โตที่สุดถึง 37.2 ไมครอน ในปลาที่ได้รับอะฟลาทอกซินบี₁ 1,000 พีพีบี รวมทั้งลักษณะเซลล์บวมพองและบุนวม (cloudy swelling) (ภาพที่ 9) พบนิวเคลียสขยายขนาด (hypertrophic nuclei) ในปลาที่ได้รับอะฟลาทอกซินบี₁ 500 พีพีบี จำนวนมาก และลดลงในปลาที่ได้รับอะฟลาทอกซินบี₁ 1,000 และ 2,500 พีพีบี ตามลำดับ (ภาพที่ 5) นิวเคลียสหดตัว (pyknotic nuclei) เล็กน้อย (ภาพที่ 5) และไซโตพลาสซึมติดสีแดงของอีโอซิน (eosinophilic cell) มากผิดปกติ (ภาพที่ 9) ในปลาที่ได้รับอะฟลาทอกซินบี₁ 500 ถึง 2,500 พีพีบี โดยพบมากขึ้นในปลาที่ได้รับสารพิษระดับสูงขึ้น รวมทั้งพบการสะสมโปรตีนในไซโตพลาสซึม และลักษณะริ้วไมโครฟิลาเมนต์ (microfilaments) ในปลาที่ได้รับอะฟลาทอกซินบี₁ 500 ถึง 2,500 พีพีบี โดยพบมากที่สุดในปลาที่ได้รับอะฟลาทอกซินบี₁ 1,000 พีพีบี และพบเซลล์ตาย (cell necrosis) จำนวนมาก ในปลาที่ได้รับอะฟลาทอกซินบี₁ 500 ถึง 2,500 พีพีบี เซลล์ตับติดสีขมสีน้ำตาลเงินของฮีมาทอกไซลิน (basophilic cell) จากเซลล์เกิดใหม่ที่ยังไม่เจริญ (regenerative cell) (ภาพที่ 9) เซลล์ตับเกิดการอักเสบ (inflammation) เม็ดเลือดขาวแทรก และเมลานอมาโครฟาจ (melanomacrophage) เพิ่มจำนวนมากขึ้นกว่าปกติเล็กน้อย ในปลาที่ได้รับอะฟลาทอกซินบี₁ 1,000 ถึง 2,500 พีพีบี

ความผิดปกติโดยรวมในตับปลาที่ได้รับอาหารทดลองเป็นเวลา 5 สัปดาห์ พบว่า มีความรุนแรงที่สุดในปลาที่ได้รับอะฟลาทอกซินบี₁ 2,500 1,000 และ 500 พีพีบี ตามลำดับ

ตับอ่อน

เซลล์ตับอ่อนและนิวเคลียสของปลานิลกลุ่มที่ได้รับอะฟลาทอกซินบี₁ 0 50 100 และ 500 พีพีบี มีขนาดและรูปร่างปกติ ขนาดเส้นผ่าศูนย์กลางนิวเคลียส 4.0 ไมครอน (ภาพที่ 11)

พบความผิดปกติในเซลล์ตับอ่อนของปลาที่ได้รับอะฟลาทอกซินบี₁ 1,000 ถึง 2,500 พีพีบี โดยมีเซลล์ตาย และเมลาโนมาโครฟาจเพิ่มจำนวนขึ้นกว่าปกติเล็กน้อย รวมทั้งเกิดการอักเสบ (ภาพที่ 12) นิวเคลียสรวมพองวัดขนาดเส้นผ่าศูนย์กลางนิวเคลียสได้ถึง 9.92 ไมครอน ไซโมเจนกรานูล (zymogen granule) ลดลง และ เซลล์ลีบ (atrophy) (ภาพที่ 13)

ในสัปดาห์ที่ 5 พบจำนวนตัวปลาที่มีความผิดปกติของตับอ่อนสูงที่สุดในกลุ่มที่ได้รับอะฟลาทอกซินบี₁ 1,000 พีพีบี อย่างไรก็ตามปลาที่ได้รับอะฟลาทอกซินบี₁ 2,500 พีพีบี แม้จะมีจำนวนตัวที่ผิดปกติน้อย แต่พบความผิดปกติในแต่ละตัวค่อนข้างมากเช่นกัน

3.5.2 การศึกษาเนื้อเยื่อวิทยาของตับและตับอ่อนของปลานิลในสัปดาห์ที่ 8

ตับ

ปลานิลกลุ่มที่ได้รับอะฟลาทอกซินบี₁ 0 50 และ 100 พีพีบี เซลล์ตับและนิวเคลียสมีขนาดและรูปร่างปกติ เช่นเดียวกับในสัปดาห์ที่ 5

พบโครมาตินชิดขอบนิวเคลียสเล็กน้อย ในปลานิลกลุ่มที่ได้รับอะฟลาทอกซินบี₁ 1,000 และ 2,500 พีพีบี เซลล์บวมพองเล็กน้อยในปลากลุ่มที่ได้รับอะฟลาทอกซินบี₁ 500 พีพีบี และรุนแรงในปลากลุ่มที่ได้รับอะฟลาทอกซินบี₁ 1,000 และ 2,500 พีพีบี มีขนาดเส้นผ่าศูนย์กลางนิวเคลียสถึง 14.88-19.84 ไมครอน นิวเคลียสขยายขนาดเล็กน้อยในปลาที่ได้รับอะฟลาทอกซินบี₁ 500 และ 1,000 พีพีบี และเพิ่มขึ้นในปลาที่ได้รับอะฟลาทอกซินบี₁ 2,500 พีพีบี นอกจากนี้ยังพบนิวเคลียสหดตัวเล็กน้อย ในปลาที่ได้รับอะฟลาทอกซินบี₁ 500 ถึง 2,500 พีพีบี

ไซโตพลาสซึมติดสีแดงของอีโอซินอย่างผิดปกติในปลานิลกลุ่มที่ได้รับอะฟลาทอกซินบี₁ 500 ถึง 2,500 พีพีบี รวมทั้งการสะสมโปรตีนในไซโตพลาสซึม (ภาพที่ 7) ของปลาที่ได้รับ

ตารางที่ 15 แสดงลักษณะความผิดปกติของตับปลาที่ได้รับอะฟลาทอกซินบี₁ ระดับต่างๆ เป็นเวลา 5 สัปดาห์¹

Treat ment	Proliferal chromatin	Cell swollen	Eosino philic cell	Pyknotic nuclei	Hypertro phic nuclei	Mottle liver	Cell necrosis	Regenera tive cell	Inflamma tion	Increase of Melano macrophage
T1	-	-	-	-	-	-	-	-	-	-
T2	-	-	-	-	-	-	-	-	-	-
T3	-	-	-	-	-	-	-	-	-	-
T4	-	41.67% (5/12)	16.67% (2/12)	16.67% (2/12)	33.33% (4/12)	16.67% (2/12)	66.67% (12/12)	25% (3/12)	-	-
T5	-	40% (6/15)	33.33% (5/15)	26.67% (4/15)	13.33% (2/15)	40% (6/15)	66.67% (10/15)	26.67% (4/15)	13.33% (5/15)	20% (3/15)
T6	-	58.85% (7/13)	69.23% (9/13)	16.67% (2/13)	6.67% (1/13)	23.08% (3/13)	69.23% (9/13)	46.15% (6/13)	23.08% (3/13)	23.08% (3/13)

¹% ความผิดปกติ = (จำนวนปลาผิดปกติ/จำนวนปลาทั้งหมด) × 100

ตารางที่ 16 แสดงลักษณะความผิดปกติของตับปลาที่ได้รับอะฟลาทอกซินบี₁ ระดับต่างๆ เป็นเวลา 8 สัปดาห์

Treat ment	Proliferal chromatin	Cell swollen	Eosino philic cell	Pycnotic nuclei	Hypertro phic nuclei	Mottle liver	Cell necrosis	Regenera tive cell	Inflamma tion	Increase of Melanomacrophage
T1	-	-	-	-	-	-	-	-	-	-
T2	-	-	-	-	-	-	-	-	-	-
T3	-	-	-	-	-	-	-	-	-	-
T4	-	15.38% (2/13)	15.38% (2/13)	23.08% (3/13)	7.69% (1/13)	-	38.46% (5/13)	16.67% (2/13)	-	23.08% (3/13)
T5	14.29% (2/14)	71.43% (10/14)	28.57% (4/14)	57.14% (8/14)	7.14% (1/14)	35.71% (5/14)	64.29% (9/14)	53.33% (8/15)	-	13.33% (2/14)
T6	26.67% (4/15)	66.67% (10/15)	26.67% (4/15)	66.67% (10/15)	33.33% (5/15)	26.67% (4/15)	93.33% (14/15)	60% (9/15)	-	26.67% (4/15)

¹% ความผิดปกติ = (จำนวนปลาผิดปกติ/จำนวนปลาทั้งหมด) × 100

ตารางที่ 17 แสดงลักษณะความผิดปกติของตับอ่อน ในปลาที่ได้รับอะฟลาทอกซินบีระดับต่างๆ เป็นเวลา 5 สัปดาห์

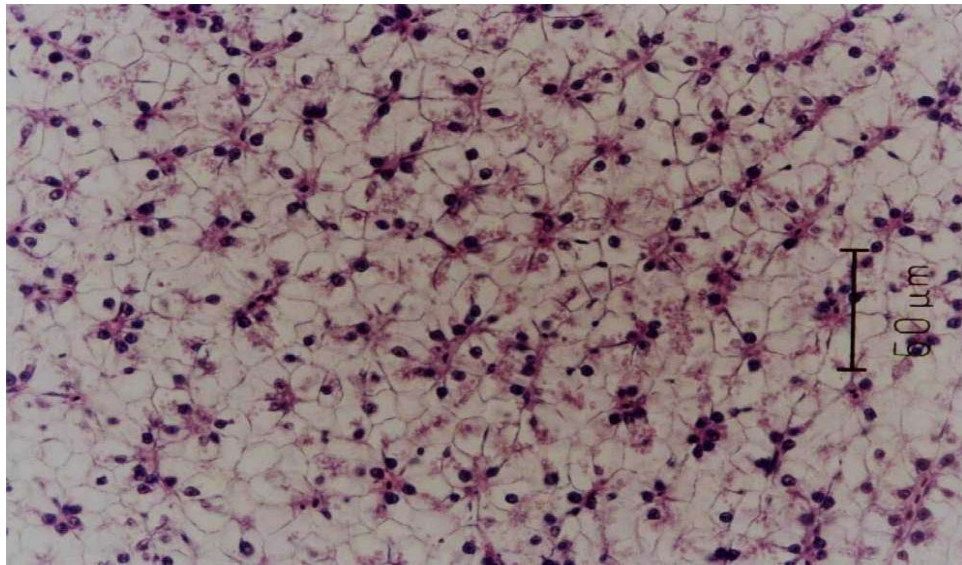
Treat ment	Inflammation	Increase of Melanomacrophage	Hypertrophic nuclei	Decrease of Zymogen granule	Cell atrophy
T1	-	-	-	-	-
T2	-	-	-	-	-
T3	-	-	-	-	-
T4	-	-	-	-	-
T5	40% (6/15)	26.67% (4/15)	73.33% (11/15)	46.67% (7/15)	53.33% (8/15)
T6	15.38% (2/13)	38.46% (3/13)	23.03% (3/13)	23.03% (3/13)	30.77% (4/13)

¹% ความผิดปกติ = (จำนวนปลาผิดปกติ/จำนวนปลาทั้งหมด) × 100

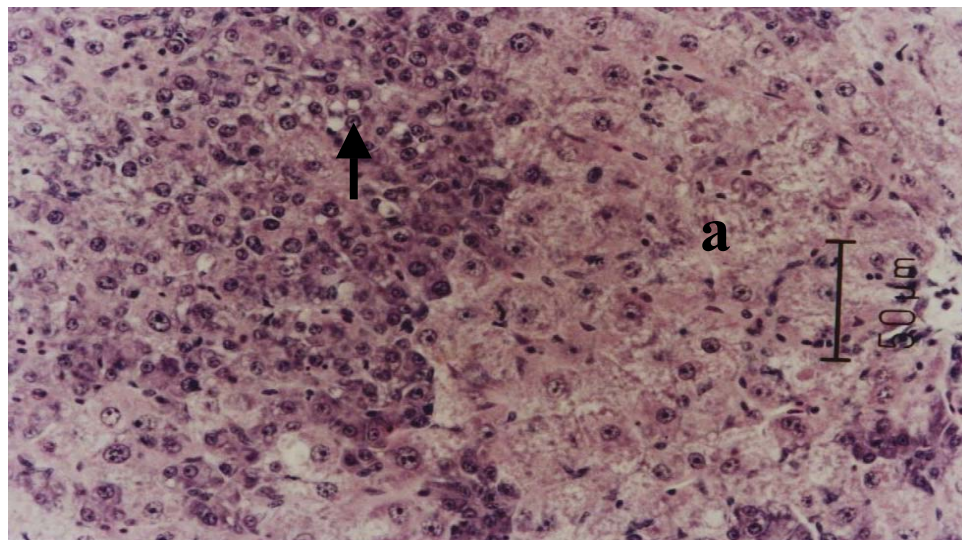
ตารางที่ 18 แสดงลักษณะความผิดปกติของตับอ่อน ในปลาที่ได้รับอะฟลาทอกซินบี₁ระดับต่างๆ เป็นเวลา 8 สัปดาห์

Treat ment	Inflammation	Increase of Melanomacrophage	Hypertrophic nuclei	Decrease of Zymogen granule	Cell atrophy
T1	-	-	-	-	-
T2	-	-	-	-	-
T3	-	-	-	-	-
T4	-	-	53.85% (7/13)	30.77% (4/13)	61.54% (8/13)
T5	14.29% (2/14)	21.43% (3/14)	78.57% (11/14)	42.86% (6/14)	57.14% (8/14)
T6	-	26.67% (4/15)	86.67% (13/15)	26.67% (4/15)	66.67% (10/15)

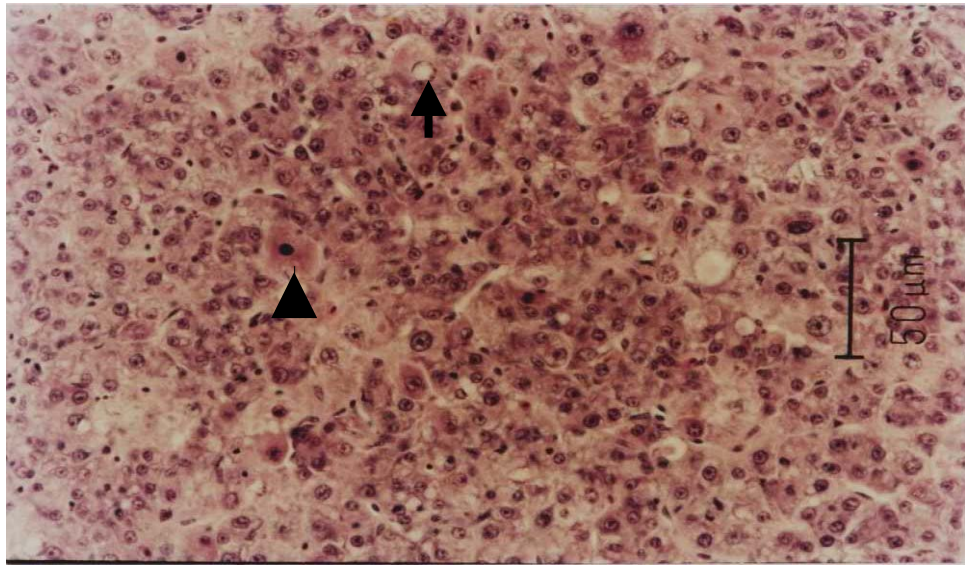
¹% ความผิดปกติ = (จำนวนปลาผิดปกติ/จำนวนปลาทั้งหมด) × 100



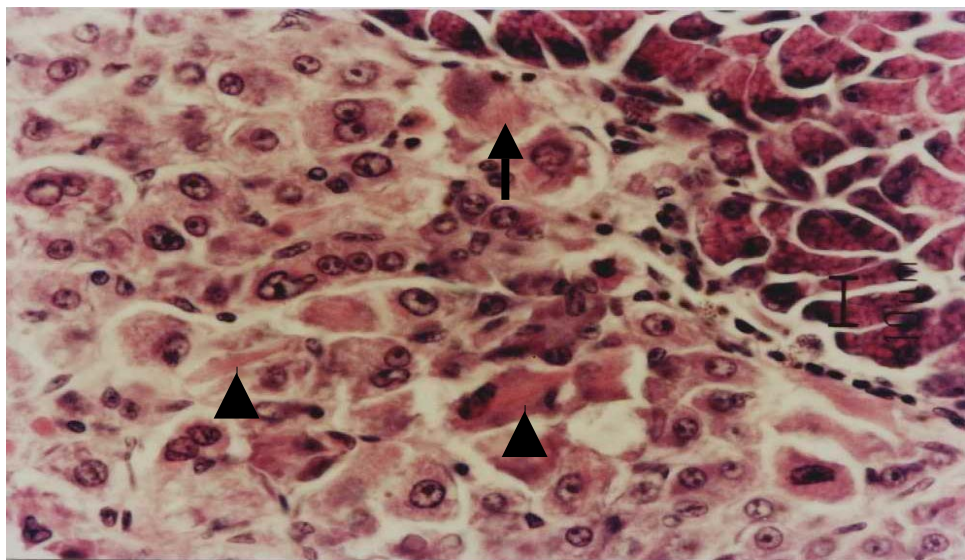
ภาพที่ 3 แสดงเนื้อเยื่อตับของปลานิลที่ได้รับอาหารที่มี AFB₁ 0 พีพีบี (กลุ่มควบคุม) เป็นเวลา 5 สัปดาห์ เซลล์ตับปกติ การจัดเรียงเซลล์ ขนาดเซลล์ และนิวเคลียสปกติ (H&E, Bar = 50 μm)



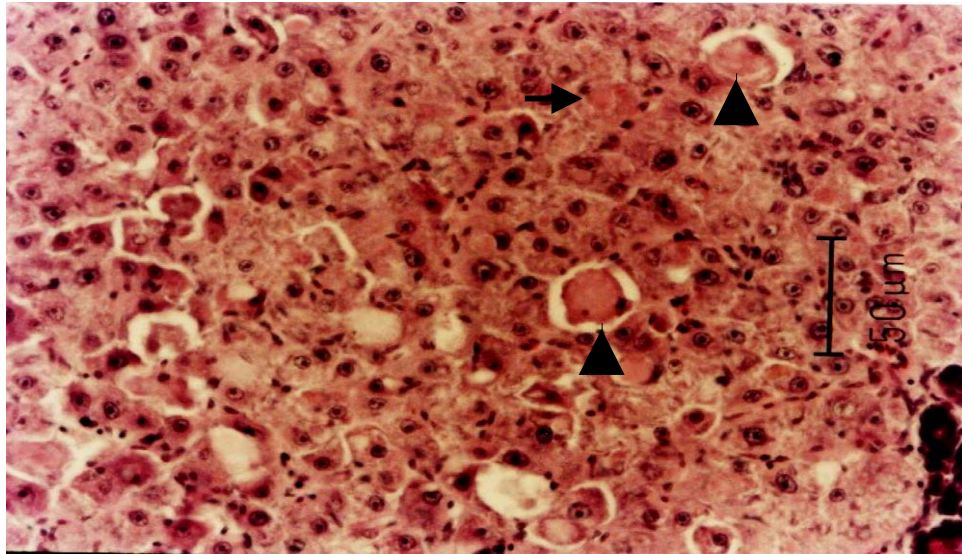
ภาพที่ 4 แสดงเนื้อเยื่อตับของปลานิลที่ได้รับอาหารที่มี AFB₁ 500 พีพีบี เป็นเวลา 5 สัปดาห์ เกิดช่องว่างในเซลล์ (vacuolation) (ศรชี้) เซลล์บวมพอง ขยายขนาด (a) (H&E, Bar = 50 μm)



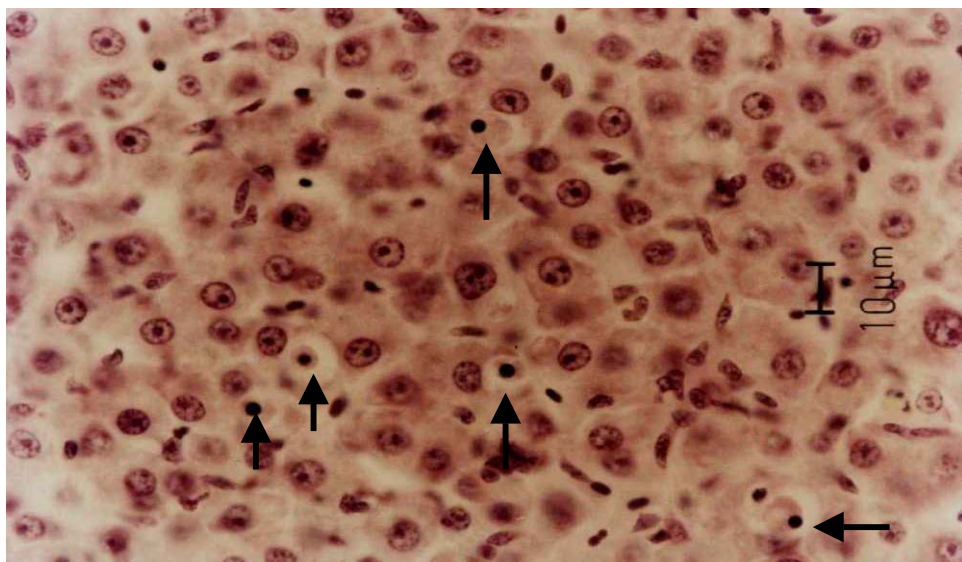
ภาพที่ 5 แสดงเนื้อเยื่อตับของปลานิลที่ได้รับอาหารที่มี AFB₁ 2,500 พีพีบี เป็นเวลา 5 สัปดาห์ พบนิวเคลียสขยายขนาด (hypertrophic nuclei) (ศรชี้) นิวเคลียสหด (pyknotic nuclei) (หัวลูกศร) (H&E, Bar = 50 μm)



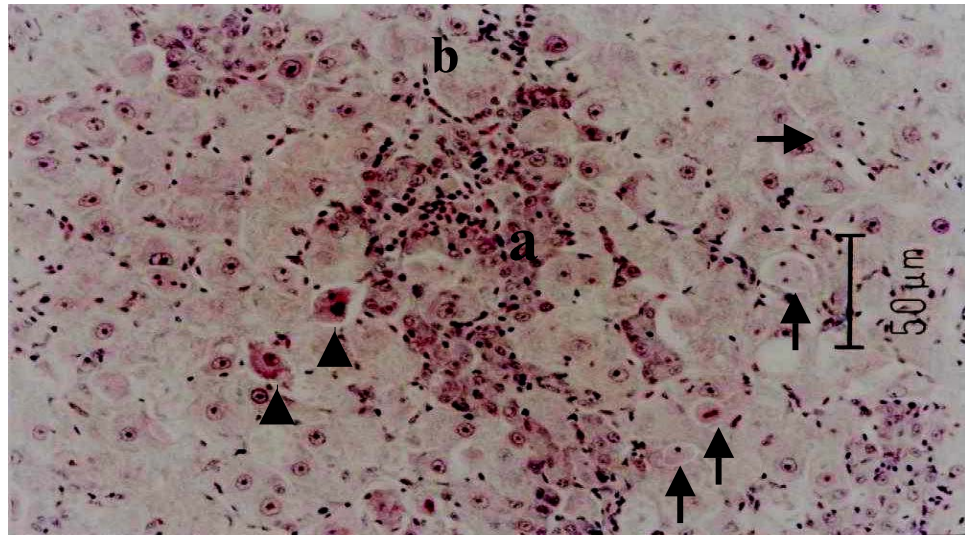
ภาพที่ 6 แสดงเนื้อเยื่อตับของปลานิลที่ได้รับอาหารที่มี AFB₁ 2,500 พีพีบี เป็นเวลา 8 สัปดาห์ พบเซลล์ตายนิวเคลียสรวมจาง (ศรชี้) ไซโทพลาสมมีลักษณะคล้ายไมโครฟิลาเมนต์ติดสีย้อมอีโอซินชัดเจน (หัวลูกศร) (H&E, Bar = 10 μm)



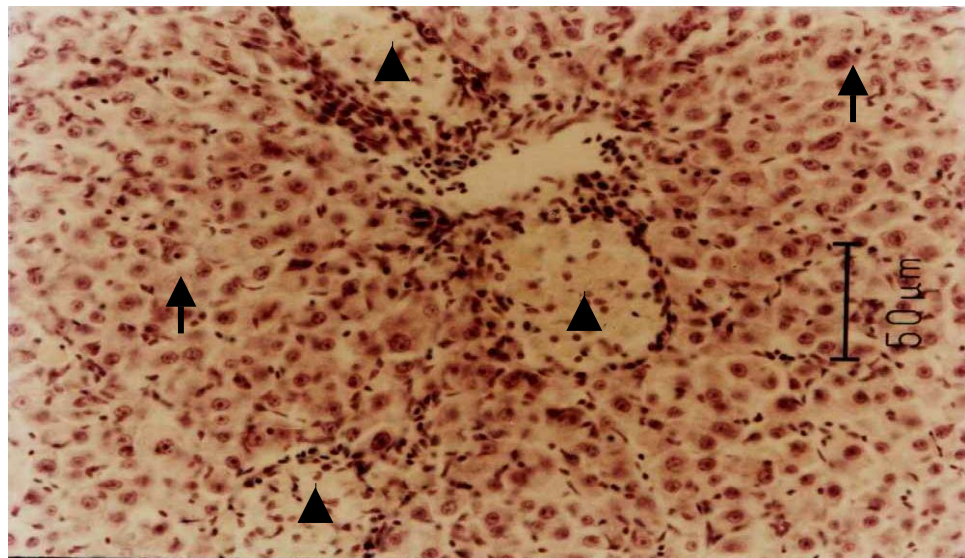
ภาพที่ 7 แสดงเนื้อเยื่อตับของปลานิลที่ได้รับอาหารที่มี AFB_1 500 พีพีบี เป็นเวลา 8 สัปดาห์ พบเซลล์ตายจำนวนมาก (หัวลูกศร) และมีการสะสมสารโปรตีนในไซโตพลาสซึม (ศรชี้) (H&E, Bar = 50 μ m)



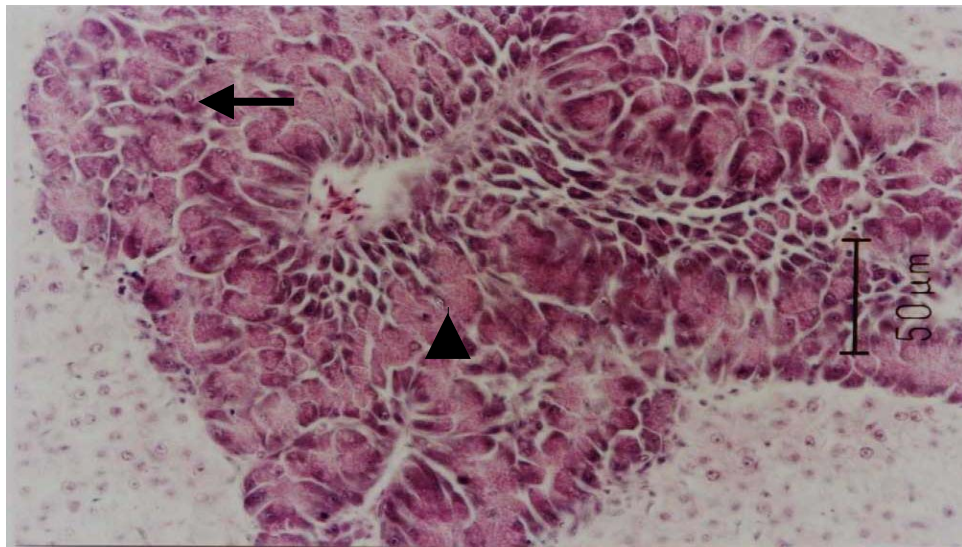
ภาพที่ 8 แสดงเนื้อเยื่อตับของปลานิลที่ได้รับอาหารที่มี AFB_1 2,500 พีพีบี เป็นเวลา 8 สัปดาห์ พบการตายของเซลล์กระจายอยู่ทั่วไป (ศรชี้) (H&E, Bar = 10 μ m)



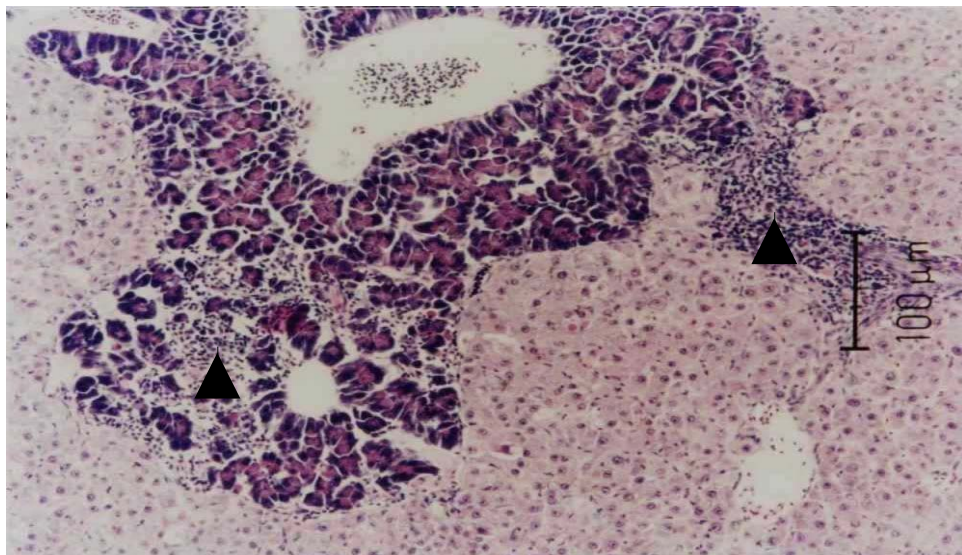
ภาพที่ 9 แสดงเนื้อเยื่อตับของปลานิลที่ได้รับอาหารที่มี AFB₁ 1,000 พีพีบี เป็นเวลา 5 สัปดาห์ พบเซลล์เกิดใหม่ที่ยังไม่เจริญ (regenerative cell) (a) เซลล์บวมพองและ ชุมนมัว (b) ไซโตพลาสซึมติดสีเข้มของอีโอซินชัดเจน (หัวลูกศร) เซลล์ตาย (ศรชี้) (H&E, Bar = 50 μm)



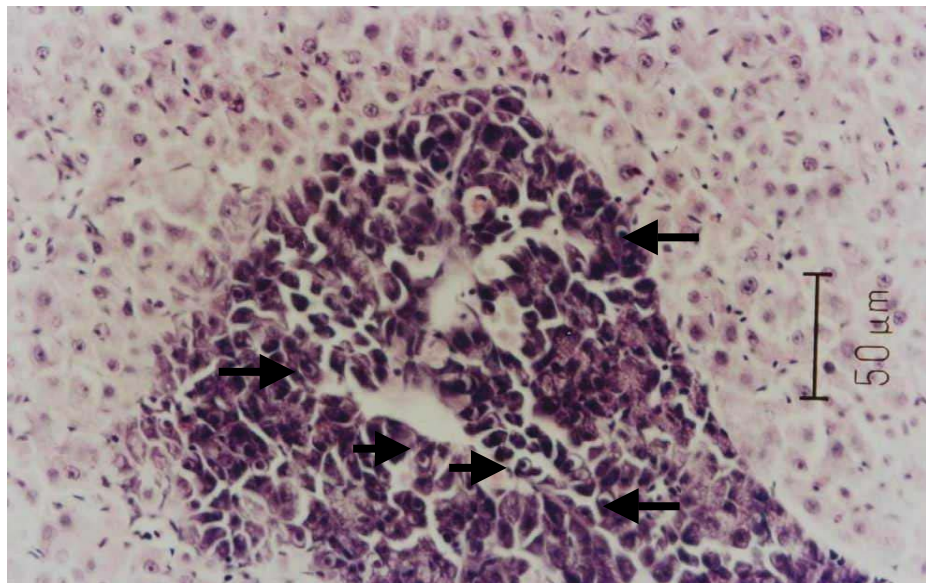
ภาพที่ 10 แสดงเนื้อเยื่อตับของปลานิลที่ได้รับอาหารที่มี AFB₁ 2,500 พีพีบี เป็นเวลา 8 สัปดาห์ พบเมลานินมาโครฟาจจำนวนมาก (หัวลูกศร) นิวเคลียสหดตัว (ศรชี้) (H&E, Bar = 50 μm)



ภาพที่ 11 แสดงเนื้อเยื่อตับอ่อนของปลานิลที่ได้รับอาหารที่มี AFB₁ 0 พีพีบี เป็นเวลา 5 สัปดาห์ เซลล์ตับอ่อนปกติ นิวเคลียส (ครซี) และไซโมเจนกรานูล (หัวลูกศร) มีขนาดและจำนวนปกติ (H&E, Bar = 50 μm)



ภาพที่ 12 แสดงเนื้อเยื่อตับอ่อนของปลานิลที่ได้รับอาหารที่มี AFB₁ 1,000 พีพีบี เป็นเวลา 5 สัปดาห์ พบการอักเสบของตับอ่อนโดยมีเซลล์เม็ดเลือดขาวแทรกซึม (หัวลูกศร) (H&E, Bar = 100 μm)



ภาพที่ 13 แสดงเนื้อเยื่อตับอ่อนของปลานิลที่ได้รับอาหารที่มี AFB_1 2,500 พีพีบี เป็นเวลา 5 สัปดาห์ เซลล์ตับอ่อนลึบ ไซโทเจนกรานูลลดลง และนิวเคลียสบวมพอง (hypertrophic nuclei) (ศรชี้) อย่างรุนแรง (H&E, Bar = 50 μ m)

3.5 การศึกษาปริมาณอะฟลาทอกซินตกค้างในกล้ามเนื้อและมูลปลา

ผลการศึกษาปริมาณการตกค้างของอะฟลาทอกซินบี₁ ในกล้ามเนื้อปลา เมื่อเลี้ยงด้วยอาหารทดลองเป็นเวลา 5 และ 8 สัปดาห์ และการตกค้างของอะฟลาทอกซินบี₁ ในมูลปลาเมื่อเลี้ยงด้วยอาหารทดลอง 3 สัปดาห์สุดท้าย พบว่าทั้งในสัปดาห์ที่ 5 และ 8 ไม่พบการตกค้างของอะฟลาทอกซินบี₁ ในกล้ามเนื้อปลาที่ได้รับอาหารทุกสูตร แต่พบในมูลปลาที่ได้รับอาหารที่มีอะฟลาทอกซินบี₁ 500 - 2,500 พีพีบี ในปริมาณ 15.13 - 27.53 พีพีบี (ตารางที่ 17)

ตารางที่ 17 แสดงปริมาณอะฟลาทอกซินบี₁ ตกค้างในกล้ามเนื้อและมูลปลา

สูตรอาหาร	ความเข้มข้นอะฟลาทอกซินบี ₁ ในอาหาร (พีพีบี)	ปริมาณอะฟลาทอกซินบี ₁ ตกค้าง (พีพีบี)		
		กล้ามเนื้อปลา		มูลปลา
		สัปดาห์ที่ 5	สัปดาห์ที่ 8	สัปดาห์ที่ 8
1	0	0	0	0
2	50	0	0	0
3	100	0	0	0
4	500	0	0	15.13
5	1,000	0	0	15.95
6	2,500	0	0	27.53

3.6 คุณภาพน้ำ

ผลการวิเคราะห์คุณภาพน้ำแต่ละสัปดาห์ แสดงในตารางภาคผนวกที่ ข. 3-10 ซึ่งมีค่าอยู่ในช่วงที่ปลานิลสามารถดำรงชีวิตได้อย่างปกติ